

важливість функції H , які відповідають залежності серцево-судинної системи від частоти пульсу. Це дозволяє використовувати методи диференціальної та інтегральної коефіцієнта напруженості серцево-судинної системи. Важливим є використання методу диференціального коефіцієнта напруженості серцево-судинної системи, який дозволяє використовувати методи диференціальної та інтегральної коефіцієнта напруженості серцево-судинної системи. Важливим є використання методу диференціального коефіцієнта напруженості серцево-судинної системи, який дозволяє використовувати методи диференціальної та інтегральної коефіцієнта напруженості серцево-судинної системи.

МЕТОДИКА АНАЛІЗУ СЕРЦЕВОГО РИТМУ ІЗ ЗАСТОСУВАННЯМ МАЛОЇ ЕОМ

В. В. Сиротський, О. П. Ветров, В. В. Гарбовський

Лабораторія фізіології віщої нервої діяльності людини Інституту фізіології
ім. О. О. Богомольця АН УРСР, Київ

Відомо, що стародавні лікарі розрізняли сотні різновидностей пульсу і навіть встановлювали діагноз за пульсом. Про інформативність цього показника свідчать і сучасні дані [9—12, 14, 17—20], автори яких прийшли до висновку, що за таким показником серцево-судинної системи як ритм серця можна судити про фізіологічно складні процеси, що здійснюються в цілісному організмі.

Дані варіаційної пульсометрії з успіхом були застосовані для оцінки психофізіологічної напруженості людини [1, 2, 9—11]. Варіаційна пульсометрія дісталася широке застосування для діагностики здорового і хворого стану людини [4, 7, 16]. Оцінка зрушення частоти пульсу при функціональних пробах міцно увійшла в практику лікарської експертізи [5]. Дослідами, проведеними в онтогенезі на тваринах, показана висока інформативність серцевого ритму для діагностики функціонального стану організму тварини [15]. Дані, одержані нами на людині, підтвердили ефективність застосування цього показника для розв'язання багатьох прикладних завдань.

Проте досі ще не вироблені чіткі кількісні критерії і остаточно не визначені ті статистичні показники, які дозволили б максимально використати діагностичну інформацію, що міститься в послідовності сигналів, які характеризують ритм серцевих скочень. Великих труднощів за знає також експериментатор при математичній обробці серцевого ритму. Вивчення деяких важливих статистичних показників серцевого ритму здійснюється тепер в основному вручну і потребує значних витрат праці.

Ми наводимо деякі кількісні критерії і статистичні показники серцевого ритму, які виявилися інформативними і були використані при діагностиці функціонального стану людини і тварин. Нами описана напівавтоматична система вводу графічної інформації в ЕОМ, яка дозволяє значно скоротити строки обробки даних.

Статистичні показники серцевого ритму

Як при ручній, так і при машинній обробці даних серцевого ритму насамперед важливо одержати статистичні показники, з допомогою яких можна визначити достовірність відмінностей у зрушенні серцевого ритму. До цих показників відносяться такі

характеристики: середнє арифметичне тривалості інтервалів $R-R$ ЕКГ $\bar{T} = \frac{1}{n} \sum_{i=1}^n T_i$, де

T_i — часовий інтервал між вершинами зубців $R-R$ ЕКГ, які розташовані рядом; емпірична дисперсія тривалості інтервалів $\sigma^2 \approx S^2 = \frac{1}{n-1} \sum_{i=1}^n (T_i - \bar{T})^2$, коефіцієнт асиметрії

$$g_s = \frac{\sum_{i=1}^n (T_i - \bar{T})^3}{n\sigma^3}, \text{ середня похибка } m = \pm \frac{\sigma}{\sqrt{n}}, \text{ коефіцієнт варіації } CV = \frac{100\sigma}{\bar{T}} [13].$$

Для різного роду кількісних зіставлень практичним виявився показник напруженості функції серцево-судинної системи, який був використаний багатьма авторами: $H = \frac{100}{T}$ (в балах).

Напруженість функції (H), виражена у відносних одиницях, перебуває в прямій залежності від частоти пульсу і визначається за середньою тривалістю інтервалу $R-R$ ЕКГ. Показник напруженості (H) дуже чутливий до найменшіших зрушень пульсу.

Досить перспективним є метод дослідження впливів різних відділів вегетативної нервої системи на динаміку серцевих скорочень. В основі методу оцінка тривалості

Методика аналізу серцевого ритму

перехідного процесу в ритмі діється за відношенням кількості п

Метод оцінки вегетативних відношень відношенням кількості інтервалів T_i до T_{i+1} за такої умови: $|T_i - T_{i+1}| < \Delta T$, де ΔT — вимогами, які пред'являються

Визначається процентне співвідношення застосовується для кількості відділів вегетативної нервої системи

Введення графічної інформації

Нами розроблена проста схема «Проміні» (рис. 1). До неї входять перетворювач напруги в частоту 2 та

Введення стрічки в ЕОМ здійснюється на планшеті самописця вздовж

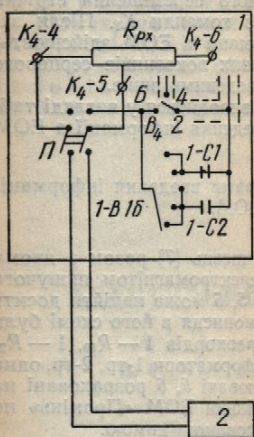


Рис. 1. Блок-схема «Проміні»:
1 — перетворювач напруги в частоту;
2 — пристрій спряження з об'єктом;

«Мотори» на лицевій панелі ПДС-1 з вершинами зубців $R-R$ ЕКГ з відносною точкою K_4-4 одержуються які необхідно ввести в пам'ять ЕОМ подається на перетворювач 2. Кодиться в пам'ять ЕОМ за відповідною стрічкою спряження 3 [6].

Часовий інтервал $R-R$ ЕКГ відповідає двох порядок розташованій коефіцієнт заздалегідь ввода допомогою спеціальної підпрограми координати еталонних часових відліяній стрічки, закріпленої на пластиночі, яка переміщується і вводиться з зубцем вводу двох координат до схеми дозавантаження до реохорда R_{px} або перетворювача напруга-частота дозавантаження [8].

перехідного процесу в ритмі діяльності серця. Тривалість перехідного процесу оцінюється за відношенням кількості прискорених, однакових і уповільнених скорочень.

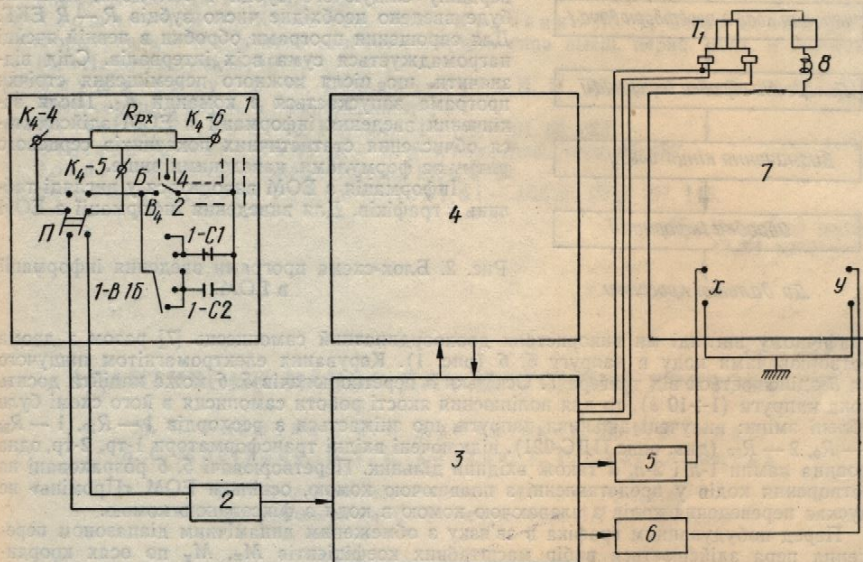
Метод оцінки вегетативних впливів на структуру серцевого ритму полягає в тому, що кожний інтервал між серцевими скороченнями порівнюється за тривалістю з попереднім інтервалом. Інтервали T_i і T_{i+1} вважають однаковими, якщо дотримуватись такої умови: $|T_i - T_{i+1}| < \Delta T$, де ΔT визначається похибкою, з якою вимрюється T_i , а також вимогами, які передбачають до аналізу (в нашому випадку $\Delta T = 0,02$ сек).

Визначається процентне співвідношення інтервалів за їх тривалістю, яке в дальшому застосовується для кількісної оцінки переважання симпатичного або парасимпатичного відділів вегетативної нервової системи.

Введення графічної інформації в малу ЕОМ

Нами розроблена проста схема введення графічної інформації в малу ЕОМ типу «Промінь» (рис. 1). До неї входять двохкоординатний самописець I типу ПДС-021 і петретворювач напруги в частоту 2 типу Ф573.

Введення стрічки в ЕОМ здійснюється так: стрічка із записаною ЕКГ закріплюється на планшеті самописця вздовж осі x , мотори сервосистем відключаються тумблером



Блок-схема програми введення графічної інформації в ЕОМ наведена на рис. 2. Перо самописця встановлюється у вершину першого зубця $R - R$ ЕКГ, потім координата, що відповідає цьому положенню пера, кодується по команді K_1 програми введення інформації і величина її записується в комірку А. Введення в ЕОМ коду, який відповідає координаті другого зубця, здійснюється при зупинці ЕОМ і переведенні пищучого пера у вершину наступного зубця ЕКГ. Після запису кодів, які відповідають координатам двох зубців, обчислюється перший часовий інтервал T_i , який записується за першою адресою командою «запис другого рангу» (див. опис ЕОМ «Промінь»), а значення координати другого зубця записується в комірку А. Потім формується адреса для наступного часовогого інтервалу. Умова закінчення введення інформації визначається за результатом порівняння сформованої адреси для кожного наступного інтервалу з числом $(n+1)$, представленим в адресній формі (n — кількість заданих інтервалів не більше 79). Якщо введено число інтервалів менше заданого, то ЕОМ зупиниться, пищуче перо переводиться у вершину слідувального зубця і так доти, поки не буде введено необхідне число зубців $R - R$ ЕКГ. Для спрощення програми обробки в певній ячейці нагромаджується сума всіх інтервалів. Слід відзначити, що після кожного переміщення стрічки програма запускається з команди K_1 . Після закінчення введення інформації в ЕОМ здійснюється обчислення статистичних показників серцевого ритму за формулами, наведеними вище.

Інформація з ЕОМ виводиться у вигляді таблиць і графіків. Для виведення інформації з ЕОМ

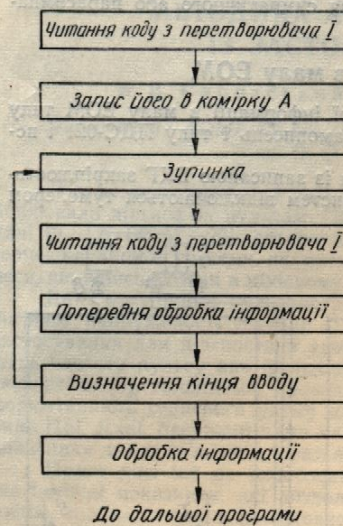


Рис. 2. Блок-схема програми введення інформації в ЕОМ.

у графічному вигляді ми використали двокоординатний самописець [7] разом з двома перетворювачами коду в напругу 5, 6 (рис. 1). Керування електромагнітом пищучого пера 8 здійснюється від тригера T . Оскільки з перетворювачів 5, 6 може надійти досить висока напруга ($1 \div 10 \text{ в}$), то для поліпшення якості роботи самописця в його схемі були зроблені зміни: вилучені дільники напруги, що знімається з реохордів $1 - R_{19}$, $1 - R_{28}$ і $2 - R_9$, $2 - R_{28}$ (див. опис ПДС-021), відключенні входні трансформатори 1-тр, 2-тр, одна половина лампи 1-л і 2-л, а також входній дільник. Перетворювачі 5, 6 розраховані на перетворення кодів з представленні з плаваючою комою, оскільки ЕОМ «Промінь» не допускає переведення кодів з плаваючою комою в коди з фіксованою комою.

Перед побудуванням графіка зв'язку з обмеженим динамічним діапазоном переміщення пера здійснюється вибір масштабних коефіцієнтів M_x , M_y по осіх координат [3]: $M_x = \frac{\Phi_x}{x_{\max}}$, $M_y = \frac{\Phi_y}{y_{\max}}$, де Φ_x , Φ_y — коди, що відповідають необхідним розмірам графіка; x_{\max} , y_{\max} — максимальне значення одержаної інформації.

Якщо в процесі обробки інформації допускається послідовне обчислення координат x і y необхідного графіка, то програма його побудови може бути зведена до таких команд: а) видача коду, що відповідає координаті X_1 на перетворювач 5; б) видача коду, що відповідає координаті y_1 на перетворювач 6; в) опускання пищучого пера, г) піднімання пищучого пера. Ці й інші команди реалізуються блоку 3.

Описана методика аналізу серцевого ритму була застосована нами для діагностики функціонального стану організму тварин і людини. Чутливість статистичних показників визначалась їх зміною на незначні функціональні навантаження. Найбільш чутливими показниками серцевого ритму на найменші зростаючі навантаження виявилися: напруженість (Н) виражена в балах, коефіцієнт варіації CV і процент переважання симпатичних впливів.

Література

1. Баєвский Р. М., Волков Ю. Н., Нидеккер И. Г.— В кн.: Математич. методы анализа сердечн. ритма, М., 1968, 51.
2. Баєвский Р. М.— Физiol. измерения в космосе и проблема их автоматизации, М., «Наука», 1970.
3. Гиленко В. Т. и др.— Автоматич. построители графиков ЦВМ, М., «Энергия», 1969.

4. Жемайтите Д. И.— В кн. 1968, 80.
5. Лихицкая И. И.— Оцен способности, М., «Медгиз», 196
6. Малиновский Б. Н. и д назнач., М., «Машгиз», 1969.
7. Никулина Г. А.— В кн.: М
8. Орнатский П. П.— Автом
9. Парин В. В. Баевский I по космич. физиол., М., «Медицина»
10. Парин В. В., Баевский
11. Парин В. В., Баевский кардиология, М., «Медицина»
12. Пупко И. Д., Долгов В. лит. диагностики, М., 1969, 41.
13. Румшиский Л. З.— Мате 1971.
14. Сумароков А. В., Моисе ние ритма сердца, М., 1967, 136.
15. Трошихин В. А., Козлов Формирование и развитие оси К., «Наукова думка», 1971.
16. Янушкевич З. И., Га Ритм сердца в норме и патол., I
17. Distel R., Elliot G.— J. Physiol.
18. Eleisch A., Beckmann R.
19. Jordan H.— Arch. Creisl.— fo
20. Simborg D., Ross R., Lew

АДАПТИВНИЙ НАСОС

М. П. Адаменко,
В. С. Мосієнко, В.

Інститут проблем
Інститут фізіології

Під час штучного кровообігу, які відповідають насосів перфузійного апарату, вручну або за допомогою складної

Нами запропонована проста [1], частота пульсацій і хвилинний ном з опором венозної та артерії обирали адекватні режими штучного станом перфузованого об'єкта.

Конструктивно насос (рис. 1) (3), регульованих дроселів (4, 5), с ріального (9) та венозного (10) клієють в його корпусі камери A, B, C.

Постійний потік газу з балону який створюється при цьому, розтіб'єм камери (C) зменшується і зростається. Як тільки зростаючий в камерах пружиною (2), мембрana (3) від (B) в камеру (A), виходячи потім з камери (A) досить своєрідна (рис. 1), відкривається скидання надлишку тиску газу через камеру (A) крикою на рис. 2, a. Сила, яка проти-ріальному підпору, зникає, і мембрани клапан (9) закривається, а клапан

ормації в ЕОМ наведена на рис. 2. до зубця $R - R$ ЕКГ, потім координати по команді K_1 програми введені. А. Введення в ЕОМ коду, який відповідає зупинці ЕОМ і переведенні. Після запису кодів, які відповідають свій інтервал T_i , який записується (ресою командою «запис другого ранго ЕОМ «Промінь»), а значення координат зубця записується в комірку A . Потім адреса для наступного часовогого та закінчення введення інформації за результатом порівняння сформованої кожного наступного інтервалу з T_i , представленим в адресній формі, заданих інтервалів не більше 79). Число інтервалів менше заданого, нічим, пишуче перо переводиться у чистого зубця і так доти, поки не необхідне число зубців $R - R$ ЕКГ. Програми обробки в певній ячейці є сума всіх інтервалів. Слід відповісти кожного переміщення стрічки ускользається з команди K_1 . Після занесення інформації в ЕОМ здійснюються статистичних показників серцевого мулами, наведеними вище.

Ця з ЕОМ виводиться у вигляді таблиці. Для виведення інформації з ЕОМ

схема програми введення інформації в ЕОМ.

Інший самописець [7] разом з двома еруванням електромагнітів пищучого прорівачів 5, 6 може надійти досить роботи самописця в його схемі буде з реохордів $1 - R_{10}$, $1 - R_{26}$ інді трансформатори 1-тр, 2-тр, одна. Перетворювачі 5, 6 розраховані на комою, оскільки ЕОМ «Промінь» не коди з фіксацією комою.

Динамічним діапазоном перевіріння M_x , M_y по осіх координат

що відповідають необхідним розмірам держаної інформації.

Ця послідовне обчислення координат може бути зведено до таких: а) на перетворювач 5; б) видача 5; в) опускання пищучого пера, що зустрічається в блоку 3. а застосована нами для діагностики Чутливість статистичних показників навантаження. Найбільш чутливими ростаючі навантаження виявилися: артерії CV і процент переважання

М. П. Адаменко, О. Б. Дащевський, Д. Р. Дімант, В. С. Мосієнко, В. Г. Ніколаєв, Е. Р. Счастливцева

Інститут проблем онкології АН УРСР, Київ;
Інститут фізіології ім. О. О. Богомольця АН УРСР, Київ

4. Жемайтіте Д. И.— В кн.: Математич. методы анализа сердечн. ритма, М., 1968, 80.
5. Лихницкая И. И.— Оценка состояния функции систем при определении трудоспособности, М., «Медгиз», 1966.
6. Малиновский Б. Н. и др.— Основы проектирования управляемых машин промышленной назнач., М., «Машгиз», 1969.
7. Никулина Г. А.— В кн.: Математич. методы анализа сердечн. ритма, М., 1968, 24.
8. Орнатский П. П.— Автоматич. измерения и приборы, К., «Вища школа», 1971.
9. Парин В. В., Баевский Р. М., Емельянов М. Д., Хазен И. М.— Очерки по космич. физиол., М., «Медицина», 1967.
10. Парин В. В., Баевский Р. М.— Введение в мед. кибернетику, М., 1966, 164.
11. Парин В. В., Баевский Р. М., Волков Ю. Н., Газенко О. Г.— Космич. кардиология, М., «Медицина», 1967.
12. Пупко И. Д., Долгов В. К., Тартаковский М. Б.— В кн.: Проблемы вычислительной диагностики, М., 1969, 41.
13. Румшицкий Л. З.— Математич. обработка результатов эксперимента, М., «Наука», 1971.
14. Сумароков А. В., Монсеев В. С., Кулниковский С. И.— В кн.: Нарушение ритма сердца, М., 1967, 136.
15. Трошихин В. А., Козлова Л. Н., Крученко Ж. А., Сиротский В. В.— Формирование и развитие основных свойств типа высш. нервн. деят. в онтогенезе, К., «Наукова думка», 1971.
16. Янушкевичус З. И., Гарабаускас В. И., Жемайтите Д. И.— В сб.: Ритм сердца в норме и патол., Паланга, 116.
17. Distel R., Elliot G.— J. Physiol. (Paris), 1961, 55, 328.
18. Eleisch A., Beckmann R.— Z. ges. exp. Med., 1932, 80, 487.
19. Jordan H.— Arch. Creisl.— forsch., 1954, 2140.
20. Simborg D., Ross R., Lewis K. et al.— JAMA, 1966, 197, 145.

Надійшла до редакції
17.XI 1972 р.

УДК 616.12—008.64

АДАПТИВНИЙ НАОСС ДЛЯ ШТУЧНОГО КРОВООБІГУ

М. П. Адаменко, О. Б. Дащевський, Д. Р. Дімант,
В. С. Мосієнко, В. Г. Ніколаєв, Е. Р. Счастливцева

Інститут проблем онкології АН УРСР, Київ;
Інститут фізіології ім. О. О. Богомольця АН УРСР, Київ

Під час штучного кровообігу виникають ситуації, що вимагають змін режими роботи насосів перфузійного апарату [3]. При цьому необхідна кореляція здійснюється вручну або за допомогою складної автоматики.

Нами запропонована проста конструкція діафрагмального пневматичного насоса [1], частота пульсації і хвилинний об'єм якого зв'язані за визначенням заздалегідь законом з опором венозної та артеріальної магістралі. Цей зв'язок дозволяє автоматично обирати адекватні режими штучного кровообігу залежно від умов, що визначаються станом перфузованого об'єкта.

Конструктивно насос (рис. 1) складається з гвинта (1), пружини (2), мембрани (3), регульованих дроселів (4, 5), сопла (6), тягнутої пружини (7), мембрани (8), артеріального (9) та венозного (10) клапанів. Згадані елементи при складанні насоса утворюють в його корпусі камери A , B , C .

Постійний потік газу з балона надходить через дросель (4) у камеру (B). Тиск, який створюється при цьому, розтягує пружину (7) та мембрани (8), завдяки чому об'єм камери (C) зменшується і кровозамінник або кров через клапан (9) з неї вищтовхується. Як тільки зростаючий в камері (B) тиск зрівноважить зусилля, яке створюється пружиною (2), мембрана (3) відіде від сопла (6) і газ почне надходити з камери (B) в камеру (A), виходячи потім через дросель (5) назовні. Динаміка руху газу в камері (A) досить своєрідна (рис. 2, a). В першій, дуже незначній за часом фазі відбувається скидання надлишку тиску в камері (B), яке зв'язано з коротким, але потужним потоком газу через камеру (A) і дросель (5), що відповідає початковій частині кривої на рис. 2, a. Сила, яка протидіє пружній тязі мембрани (8), пружини (7) і артеріальному підпору, зникає, і мембрана (8) починає рухатися угору. Внаслідок цього клапан (9) закривається, а клапан (10) відкривається і починається всмоктування крові